

## 砂質土におけるプレッシャーメータ試験結果の解釈について

京都大学工学部 正員 富 哲治郎・正員 太田 香樹  
京都大学工学部 正員 深川 良一・学生員○杉 村 内

1.はじめに：本研究では砂試料に対するプレッシャーメータモード試験結果と弾性論を用いて解析し室内三軸試験結果と比較することにより、得られた変形係数E、 $\nu$ の評価を行なった。

2. E、 $\nu$ の応力経路依存性：まず室内三軸試験により変形係数E、 $\nu$ の応力経路依存性を明らかにしていきたい。試験はまず側圧一定三軸圧縮・伸張試験を拘束圧 $\sigma_3 = 49, 98, 147, 196 \text{ kN/m}^2$ について行ない、同様に側圧一定条件下で繰返し載荷試験を $\sigma_3 = 98, 196 \text{ kN/m}^2$ で行なった。ひずみの基準状態は等方圧密終了時としている。試料は豊浦標準砂を用いた。等方的な直試体を得るためにト田らの指摘にしたがってplunging法によつて直試体を作製し、間隙比Eを0.7前後に調整した。繰返し載荷試験の結果をFig. 1に、得られた変形係数E、 $\nu$ をFig. 2に示す。圧縮試験より得られた初期接線弾性係数Eは伸張試験でのEの3~4倍になり、 $\nu$ は圧縮試験では0.5以下、伸張試験では0.5以上となる傾向がある。繰返し載荷試験の降荷・再載荷過程より得られる変形係数Eは圧縮・伸張という試験条件の影響をほとんど受けず、ほぼ同様な値を与えることがわかる。二のことは試料がより弾性的に挙動していることを示すものと思われる。変形係数E、 $\nu$ の応力経路依存性を調べるために式(1)に $\sigma_3 = 98 \text{ kN/m}^2$ として種々の応力経路で三軸試験を行なつた。実験中、軸圧・側圧が変化するからX-Y座標系を補正して3次補正を行なつて排水量の正確な評価に努めた。その結果をFig. 3に示す。二のことは $\tau = \sigma_a - \sigma_n$ 、 $P = \frac{1}{3}(\sigma_a + 2\sigma_n)$ 、 $\sigma_a$ :軸圧、 $\sigma_n$ :側圧である。太実線の値をE、長さはE、 $\nu$ の値を表している。これによると

Eについては $\Delta\tau > 0$ の場合、 $\Delta\tau < 0$ の場合の2.5~3.5倍となり、 $\nu$ についてはEほど顕著な差はないが $\Delta P < 0$ の場合より $\Delta P > 0$ の場合の方が相対的に小であるといいう傾向を持つ。以上の二ことを整理するとFig. 4のように $\tau-P$ 平面を4つに分けて考えたことができ、それでの傾向は、SECTION I ( $\tau > 0, \Delta P > 0$ ) E大、 $\nu$ 小

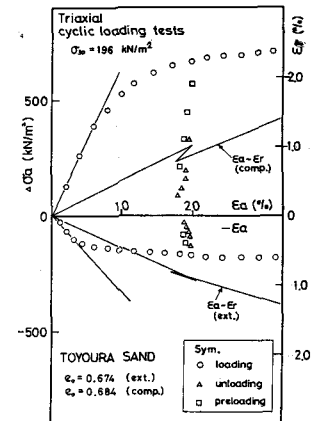


Fig. 1 側圧一定三軸繰返し載荷試験の典型的結果

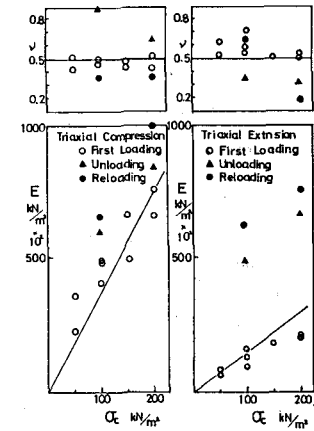


Fig. 2. 側圧一定三軸圧縮・伸張試験結果

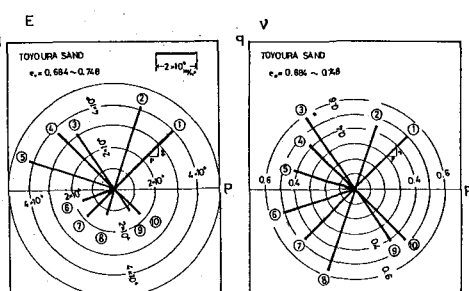


Fig. 3 種々の応力経路におけるE、 $\nu$

Section II ( $\varphi > 0, \Delta P < 0$ ) E 大, レ大  
Section III ( $\varphi < 0, \Delta P < 0$ ) E 小, レ大  
Section IV ( $\varphi < 0, \Delta P > 0$ ) E 小, レ小

となる。

### 3. 弾性論に基づくアーリニアーティ

試験結果の解釈: 今回のアーリニアーティ 室内モデル試験に對応させて内圧  $p_i$ , 外径  $r_o$  の厚肉円筒が内圧  $p_i$ , 外圧  $P$  をうけける場合を考へる。材料を等方等質線型弾性体と仮定し、ひずみは微小であるとする。また載荷機構より厚肉

円筒は軸対称平面ひずみ条件下で変形するものとする。内壁と外壁との半径方向ひずみ増分～内圧増分関係は結局、

$$\Delta\left(\frac{U_i}{r_i}\right) = \frac{(1+\nu)}{E} \cdot \frac{(1-2\nu)r_i^2 + r_o^2}{r_o^2 - r_i^2} \cdot \Delta\sigma_i$$

$$\Delta\left(\frac{U_o}{r_o}\right) = \frac{2(1-\nu)}{E} \cdot \frac{r_i^2}{r_o^2 - r_i^2} \cdot \Delta\sigma_i$$

となる。ここで  $U_i, U_o$  はそれで内壁、外壁の変位である。実験結果  $E\Delta\left(\frac{U_i}{r_i}\right)$  ～  $\Delta\sigma_i$ ,  $\Delta\left(\frac{U_o}{r_o}\right)$  ～  $\Delta\sigma_i$  関係を整理し、初期載荷時、繰り返し時を直線とみなす

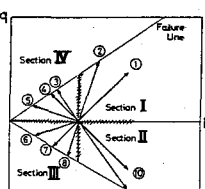


Fig. 4 T-T平面の分類

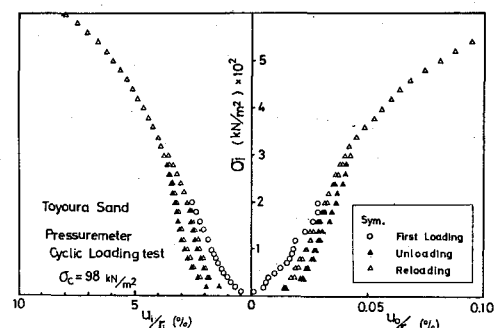
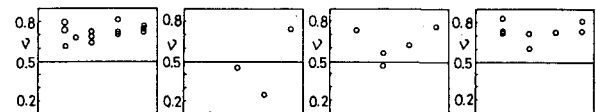


Fig. 5 典型的なアーリニアーティ曲線



Pressuremeter Φ10  
First Loading

Pressuremeter Φ10  
Unloading

Pressuremeter Φ10  
Reloading

Pressuremeter Φ5  
First Loading

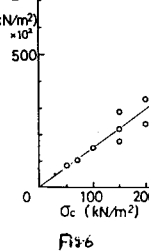


Fig. 6

Fig. 7

Fig. 8

Fig. 9

Fig. 8

Fig. 9

で上式から  $E, \nu$  を決定していく。また弾性論に基づけば、アーリニアーティ試験における任意の要素の応力変化は初期載荷過程においては鉛直応力増分  $\Delta\sigma_z < 0$ , 半径方向応力増分  $\Delta\sigma_r > 0$ , 円周方向応力増分  $\Delta\sigma_\theta < 0$ ,  $|\Delta\sigma_\theta| > |\Delta\sigma_r|$  であることがわかる。また平均主応力増分  $\Delta\sigma < 0$  である。これを T-T平面上で整理すると側圧一定三軸伸張試験の応力状態により近いことがわかる。よって(1)初期載荷過程より得られる  $E, \nu$  の傾向は Fig. 4 a section III の  $E, \nu$  の傾向と一致し、E 大、レ小となる。(2)繰り返し載荷過程より得られる  $E, \nu$  はより弾性的であると考へられるから三軸繰り返し載荷試験より得られる  $E, \nu$  と似てく、二ことが予想される。

4. 結果と考察: 典型的なアーリニアーティ曲線を Fig. 5 に、結果を Fig. 6 ～ 9 に示す。なお実験方法の詳細は文献(2)を参考されたい。実験においては供試体の半径を 5 cm, 10.14 cm と 2 種類変え、その影響を調べたが、Fig. 6 と Fig. 9 より影響はないことがわかる。Fig. 6 と Fig. 2 を比較するとアーリニアーティの初期載荷過程より得られる  $E, \nu$  は側圧一定三軸伸張試験での  $E, \nu$  の傾向が似ており、また特に繰り返し載荷過程より得られる  $E, \nu$  は三軸繰り返し載荷試験より得られる  $E$  にはほぼ等しいことが Fig. 7, 8 と Fig. 2 からわかり、予想に近い結果を示していることがわかる。

参考文献: (1) 小田匡實 (1979) “等方的な砂質土の変形強度特性” 第14回土工学研究発表会 (2) 吉方弘樹 (1983) “砂質地盤における原位置試験結果の解析と開口部の單純剛性” 京都大学修士論文